



Anwendung von Root-MUSIC zur Lokalisierung multipler akustischer Quellen durch Mikrofonarrays

Rüdiger Knörig

Technische Universität Berlin
Institut für Telekommunikationssysteme
Fachgebiet Nachrichtenübertragung
Einsteinufer 17
D-10587 Berlin
email: ruediger@knoerig.de





Aufgabenstellung

- Robuste Lokalisierung einer unbekannt Anzahl an akustischen Quellen





Aufgabenstellung

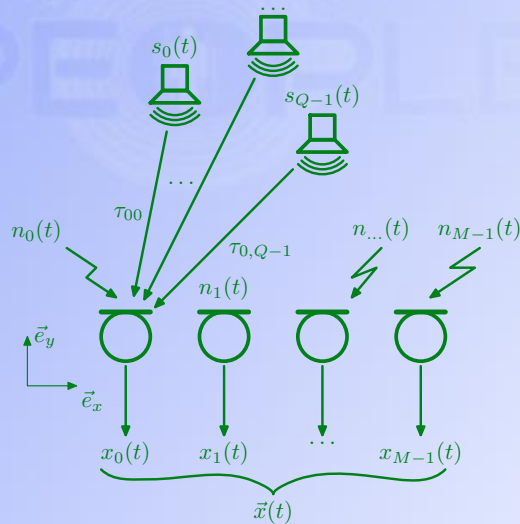
- Robuste Lokalisierung einer unbekanntem Anzahl an akustischen Quellen
- aus den Ausgangssignalen eines Uniform Linear Arrays.





Aufgabenstellung

- Robuste Lokalisierung einer unbekanntenen Anzahl an akustischen Quellen
- aus den Ausgangssignalen eines Uniform Linear Arrays.



Fernfeldsignalmodell

- Entfernung zwischen Quelle und Array groß

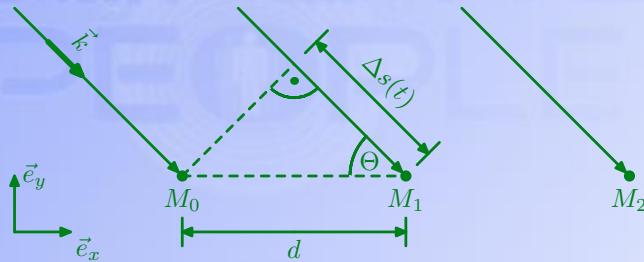




Fernfeldsignalmodell

- Entfernung zwischen Quelle und Array groß

⇒ Wellenfronten nahezu planar / Wellenvektoren \vec{k} an allen Mikrofonen parallel

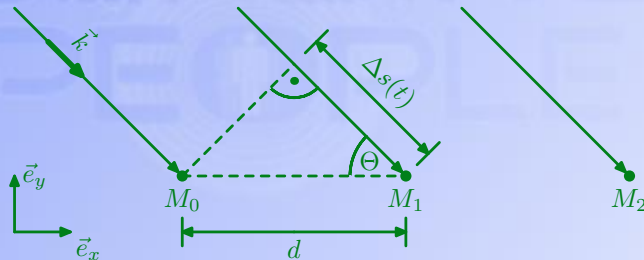




Fernfeldsignalmodell

- Entfernung zwischen Quelle und Array groß

⇒ Wellenfronten nahezu planar / Wellenvektoren \vec{k} an allen Mikrofonen parallel



⇒ Peilung beschränkt sich auf die Feststellung des Einfallswinkel Θ .



Gliederung

1. Übersicht über gängige Lösungsansätze.





Gliederung

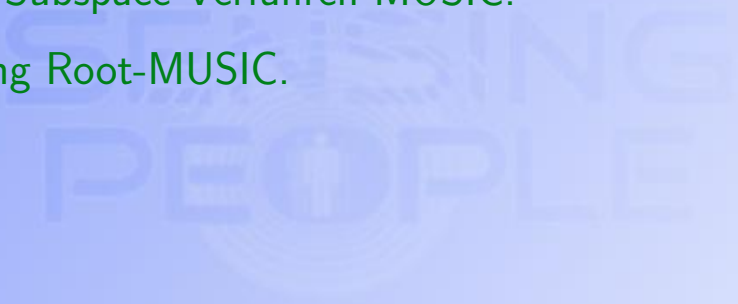
1. Übersicht über gängige Lösungsansätze.
2. Einführung Subspace-Verfahren MUSIC.





Gliederung

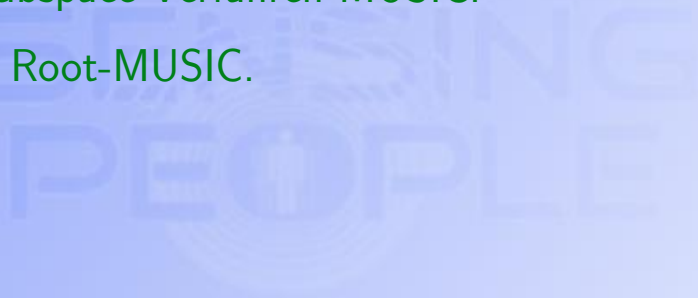
1. Übersicht über gängige Lösungsansätze.
2. Einführung Subspace-Verfahren MUSIC.
3. Verbesserung Root-MUSIC.





Gliederung

1. Übersicht über gängige Lösungsansätze.
2. Einführung Subspace-Verfahren MUSIC.
3. Verbesserung Root-MUSIC.
4. Ergebnisse.



Lösungsansätze

- korrelationsbasierende Verfahren



Lösungsansätze

- korrelationsbasierende Verfahren
- Beamformer



Lösungsansätze

- korrelationsbasierende Verfahren
- Beamformer
- *maximum-likelihood*-Ansätze



Lösungsansätze

- korrelationsbasierende Verfahren
- Beamformer
- *maximum-likelihood*-Ansätze
- Subspace-Verfahren



Lösungsansätze

- korrelationsbasierende Verfahren
- Beamformer
- *maximum-likelihood*-Ansätze
- Subspace-Verfahren



Subspace-Verfahren MUSIC

MUSIC multiple signal classification.





Subspace-Verfahren MUSIC

MUSIC multiple signal classification.

Subspace-Verfahren





Subspace-Verfahren MUSIC

MUSIC multiple signal classification.

Grundidee: Separierung der Peilungen in



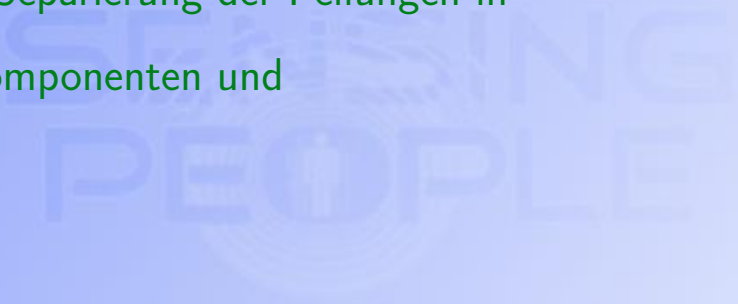


Subspace-Verfahren MUSIC

MUSIC multiple signal classification.

Grundidee: Separierung der Peilungen in

- Signalkomponenten und



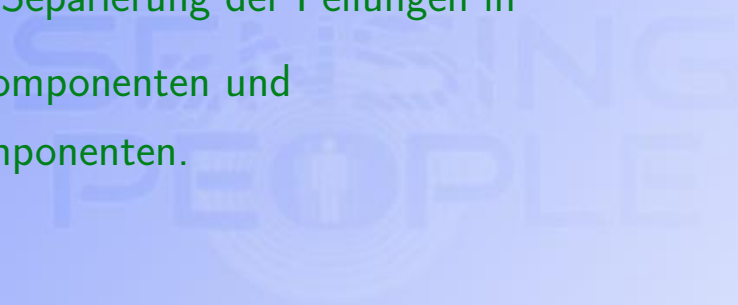


Subspace-Verfahren MUSIC

MUSIC multiple signal classification.

Grundidee: Separierung der Peilungen in

- Signalkomponenten und
- Störkomponenten.





Subspace-Verfahren MUSIC

MUSIC multiple signal classification.

Grundidee: Separierung der Peilungen in

- Signalkomponenten und
- Störkomponenten.

+ Erfasst Anzahl und Position mehrerer gleichzeitig aktiver Quellen.





Subspace-Verfahren MUSIC

MUSIC multiple signal classification.

Grundidee: Separierung der Peilungen in

- Signalkomponenten und
- Störkomponenten.

+ Erfasst Anzahl und Position mehrerer gleichzeitig aktiver Quellen.

- Solange diese unkorreliert zueinander sind.



Herleitung



Herleitung

- Simplester Fall: 2 Mikrofone, 1 Quelle.





Herleitung

- Simplester Fall: 2 Mikrofone, 1 Quelle.
- Für die Mikrofonsignale gilt dann

$$x_0(k) = s_0(k) + n_0(k) \quad (1)$$

$$x_1(k) = s_0(k - \Delta l_0) + n_1(k) \quad (2)$$





Herleitung

- Simplester Fall: 2 Mikrofone, 1 Quelle.
- Für die Mikrofon-signale gilt dann

$$x_0(k) = s_0(k) + n_0(k) \tag{1}$$

$$x_1(k) = s_0(k - \Delta l_0) + n_1(k) \tag{2}$$

- und unter der Annahme von Unkorreliertheit zwischen $s_0(k)$ und $n_{0/1}(k)$

(3)

(4)





Herleitung

- Simplester Fall: 2 Mikrofone, 1 Quelle.
- Für die Mikrofonsignale gilt dann

$$x_0(k) = s_0(k) + n_0(k) \quad (1)$$

$$x_1(k) = s_0(k - \Delta l_0) + n_1(k) \quad (2)$$

- und unter der Annahme von Unkorreliertheit zwischen $s_0(k)$ und $n_{0/1}(k)$

$$X_0(j\Omega) \cdot X_1(j\Omega)^* = |S(j\Omega)|^2 \cdot e^{j\Omega\Delta l_0} \text{ (Signalkomponente)} \quad (3)$$

$$(4)$$





Herleitung

- Simplester Fall: 2 Mikrofone, 1 Quelle.
- Für die Mikrofonsignale gilt dann

$$x_0(k) = s_0(k) + n_0(k) \quad (1)$$

$$x_1(k) = s_0(k - \Delta l_0) + n_1(k) \quad (2)$$

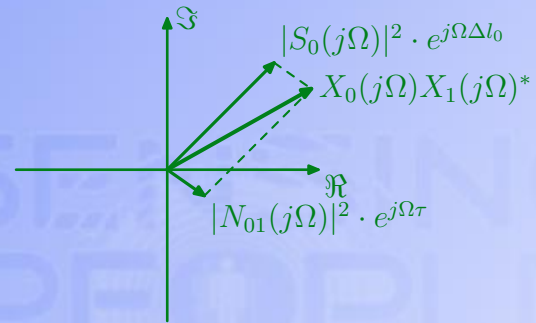
- und unter der Annahme von Unkorreliertheit zwischen $s_0(k)$ und $n_{0/1}(k)$

$$X_0(j\Omega) \cdot X_1(j\Omega)^* = |S(j\Omega)|^2 \cdot e^{j\Omega\Delta l_0} \text{ (Signalkomponente)} \quad (3)$$

$$+ |N_{01}(j\Omega)|^2 \cdot e^{j\Omega\tau} \text{ (Störkomponente)} \quad (4)$$

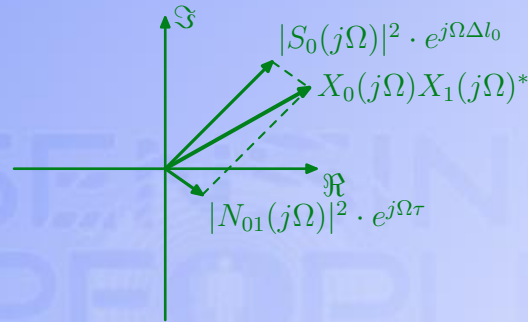


Graphische Interpretation





Graphische Interpretation

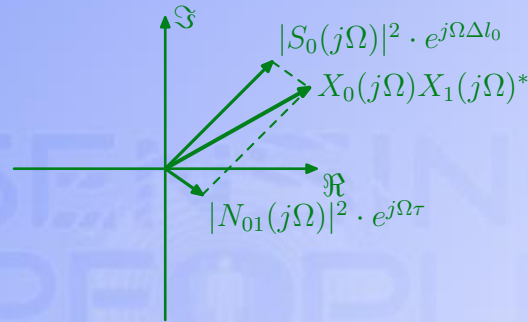


- Die Signalkomponente ist betragsmäßig größer und besitzt eine konstante Phase.





Graphische Interpretation

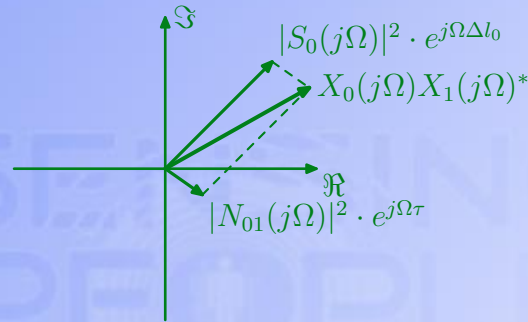


- Die Signalkomponente ist betragsmäßig größer und besitzt eine konstante Phase.
- Die Störkomponente ist betragsmäßig kleiner und besitzt eine zufällige Phase.





Graphische Interpretation

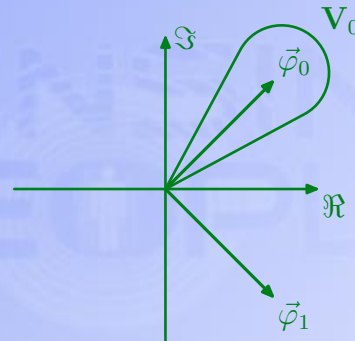


- Die Signalkomponente ist betragsmäßig größer und besitzt eine konstante Phase.
- Die Störkomponente ist betragsmäßig kleiner und besitzt eine zufällige Phase.



Subraumdarstellung

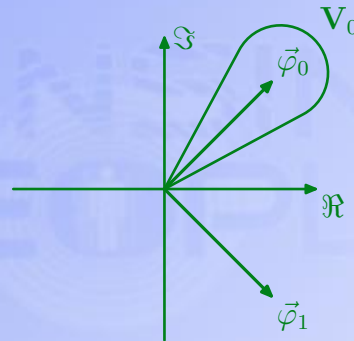
- $X_0(j\Omega) \cdot X_1(j\Omega)^*$ existiert in einem Vektorraum $V_0 \subset \mathcal{R}^2$





Subraumdarstellung

- $X_0(j\Omega) \cdot X_1(j\Omega)^*$ existiert in einem Vektorraum $V_0 \subset \mathcal{R}^2$



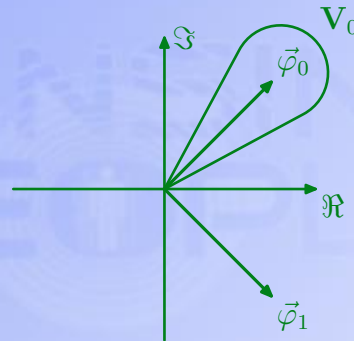
- Dieser Vektorraum besitzt die Hauptachsen/vektoren $\vec{\varphi}_{0/1}$.





Subraumdarstellung

- $X_0(j\Omega) \cdot X_1(j\Omega)^*$ existiert in einem Vektorraum $V_0 \subset \mathcal{R}^2$



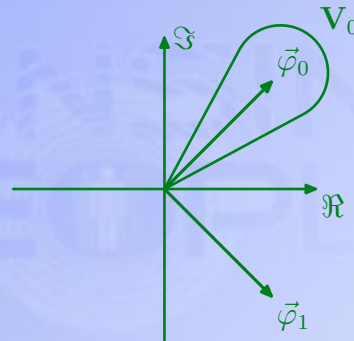
- Dieser Vektorraum besitzt die Hauptachsen/vektoren $\vec{\varphi}_{0/1}$.
- $\vec{\varphi}_0$ bildet die Basis eines Signalunterraums U_S .





Subraumdarstellung

- $X_0(j\Omega) \cdot X_1(j\Omega)^*$ existiert in einem Vektorraum $V_0 \subset \mathcal{R}^2$



- Dieser Vektorraum besitzt die Hauptachsen/vektoren $\vec{\varphi}_{0/1}$.
- $\vec{\varphi}_0$ bildet die Basis eines Signalunterraums U_S .
- $\vec{\varphi}_1$ bildet die Basis des orthogonalen Rauschunterraums U_N .



MUSIC-Idee

- U_s und U_N sind orthogonal.





MUSIC-Idee

- \mathbf{U}_s und \mathbf{U}_N sind orthogonal.

⇒ Für einen Vektor $\vec{e} = e^{j\varphi}$ ist die Abbildung $\langle \vec{e}, \mathbf{U}_N \rangle$ den Rauschunterraum betragsmäßig am kleinsten, wenn er die gleiche Phase wie $\vec{\varphi}_0$ hat.





MUSIC-Idee

- \mathbf{U}_s und \mathbf{U}_N sind orthogonal.

\Rightarrow Für einen Vektor $\vec{e} = e^{j\varphi}$ ist die Abbildung $\langle \vec{e}, \mathbf{U}_N \rangle$ den Rauschunterraum betragsmäßig am kleinsten, wenn er die gleiche Phase wie $\vec{\varphi}_0$ hat.

$$\Rightarrow |\langle \vec{e}, \mathbf{U}_N \rangle|^2 = (\vec{e}^H \cdot \mathbf{U}_N) \cdot (\vec{e}^H \cdot \mathbf{U}_N)^H = \vec{e}^H \cdot \mathbf{U}_N \mathbf{U}_N^H \cdot \vec{e} \rightarrow 0.$$





MUSIC-Idee

- \mathbf{U}_s und \mathbf{U}_N sind orthogonal.

⇒ Für einen Vektor $\vec{e} = e^{j\varphi}$ ist die Abbildung $\langle \vec{e}, \mathbf{U}_N \rangle$ den Rauschunterraum betragsmäßig am kleinsten, wenn er die gleiche Phase wie $\vec{\varphi}_0$ hat.

$$\Rightarrow |\langle \vec{e}, \mathbf{U}_N \rangle|^2 = (\vec{e}^H \cdot \mathbf{U}_N) \cdot (\vec{e}^H \cdot \mathbf{U}_N)^H = \vec{e}^H \cdot \mathbf{U}_N \mathbf{U}_N^H \cdot \vec{e} \rightarrow 0.$$

- Existiert eine Beziehung zwischen Einfallswinkel Θ und dem Laufzeitunterschied $\Delta l_0(\Theta)$,





MUSIC-Idee

- \mathbf{U}_s und \mathbf{U}_N sind orthogonal.

⇒ Für einen Vektor $\vec{e} = e^{j\varphi}$ ist die Abbildung $\langle \vec{e}, \mathbf{U}_N \rangle$ den Rauschunterraum betragsmäßig am kleinsten, wenn er die gleiche Phase wie $\vec{\varphi}_0$ hat.

$$\Rightarrow |\langle \vec{e}, \mathbf{U}_N \rangle|^2 = (\vec{e}^H \cdot \mathbf{U}_N) \cdot (\vec{e}^H \cdot \mathbf{U}_N)^H = \vec{e}^H \cdot \mathbf{U}_N \mathbf{U}_N^H \cdot \vec{e} \rightarrow 0.$$

- Existiert eine Beziehung zwischen Einfallswinkel Θ und dem Laufzeitunterschied $\Delta l_0(\Theta)$,
- dann kann der Einfallswinkel aus dem Minimum von $\vec{e}^H \cdot \mathbf{U}_N \mathbf{U}_N^H \cdot \vec{e}$ mit $\vec{e} = e^{j\Omega \Delta l_0(\Theta)}$ bestimmt werden.



mehrere Quellen

- Zur Lokalisierung von Q Quellen muß es mindestens $Q + 1$ Hauptachsen geben.





mehrere Quellen

- Zur Lokalisierung von Q Quellen muß es mindestens $Q + 1$ Hauptachsen geben.
 - Q Hauptachsen für den Signalunterraum und





mehrere Quellen

- Zur Lokalisierung von Q Quellen muß es mindestens $Q + 1$ Hauptachsen geben.
 - Q Hauptachsen für den Signalunterraum und
 - mindestens eine Hauptachse für den Rauschunterraum.





mehrere Quellen

- Zur Lokalisierung von Q Quellen muß es mindestens $Q + 1$ Hauptachsen geben.
 - Q Hauptachsen für den Signalunterraum und
 - mindestens eine Hauptachse für den Rauschunterraum.

$$\Rightarrow \mathbf{V}_0 \in \mathcal{R}^N, N \geq Q + 1.$$





mehrere Quellen

- Zur Lokalisierung von Q Quellen muß es mindestens $Q + 1$ Hauptachsen geben.
 - Q Hauptachsen für den Signalunterraum und
 - mindestens eine Hauptachse für den Rauschunterraum.

$\Rightarrow \mathbf{V}_0 \in \mathcal{R}^N, N \geq Q + 1.$

- Die Hauptachsen $\vec{\varphi}_{0/1}$ ergeben sich nach dem Satz über Hauptachsentransformation als Eigenvektoren der spektralen Kovarianzmatrix.





Schmal- und Breitband-Music

- Diese Kovarianzmatrix kann auf zwei verschiedenen Wegen definiert werden:





Schmal- und Breitband-Music

- Diese Kovarianzmatrix kann auf zwei verschiedenen Wegen definiert werden:
- Schmalband-MUSIC
 - Der Frequenzbereich wird soweit eingengt, daß

$$|S(j\Omega)|^2 \cdot e^{j\Omega\Delta l_0} \approx A \cdot e^{j\Omega_0\Delta l_0} \text{ gilt.} \quad (5)$$





Schmal- und Breitband-Music

- Diese Kovarianzmatrix kann auf zwei verschiedenen Wegen definiert werden:
- Schmalband-MUSIC
 - Der Frequenzbereich wird soweit eingengt, daß

$$|S(j\Omega)|^2 \cdot e^{j\Omega\Delta l_0} \approx A \cdot e^{j\Omega_0\Delta l_0} \text{ gilt.} \quad (5)$$

- Die Kovarianzmatrix repräsentiert die Phasenbeziehungen zwischen den Mikrofonkanälen.





Schmal- und Breitband-MUSIC

- Diese Kovarianzmatrix kann auf zwei verschiedenen Wegen definiert werden:

- Schmalband-MUSIC

- Der Frequenzbereich wird soweit eingengt, daß

$$|S(j\Omega)|^2 \cdot e^{j\Omega\Delta l_0} \approx A \cdot e^{j\Omega_0\Delta l_0} \text{ gilt.} \quad (5)$$

- Die Kovarianzmatrix repräsentiert die Phasenbeziehungen zwischen den Mikrofonkanälen.

- Breitband-MUSIC





Schmal- und Breitband-MUSIC

- Diese Kovarianzmatrix kann auf zwei verschiedenen Wegen definiert werden:

- Schmalband-MUSIC

- Der Frequenzbereich wird soweit eingengt, daß

$$|S(j\Omega)|^2 \cdot e^{j\Omega\Delta l_0} \approx A \cdot e^{j\Omega_0\Delta l_0} \text{ gilt.} \quad (5)$$

- Die Kovarianzmatrix repräsentiert die Phasenbeziehungen zwischen den Mikrofonkanälen.

- Breitband-MUSIC

- Verwendung von zwei Mikrofonkanälen.





Schmal- und Breitband-MUSIC

- Diese Kovarianzmatrix kann auf zwei verschiedenen Wegen definiert werden:

- Schmalband-MUSIC

- Der Frequenzbereich wird soweit eingengt, daß

$$|S(j\Omega)|^2 \cdot e^{j\Omega\Delta l_0} \approx A \cdot e^{j\Omega_0\Delta l_0} \text{ gilt.} \quad (5)$$

- Die Kovarianzmatrix repräsentiert die Phasenbeziehungen zwischen den Mikrofonkanälen.

- Breitband-MUSIC

- Verwendung von zwei Mikrofonkanälen.
- Die Kovarianzmatrix repräsentiert die Phasenbeziehungen zwischen den Frequenzkomponenten.



Bestimmung der Quellenanzahl





Bestimmung der Quellenanzahl

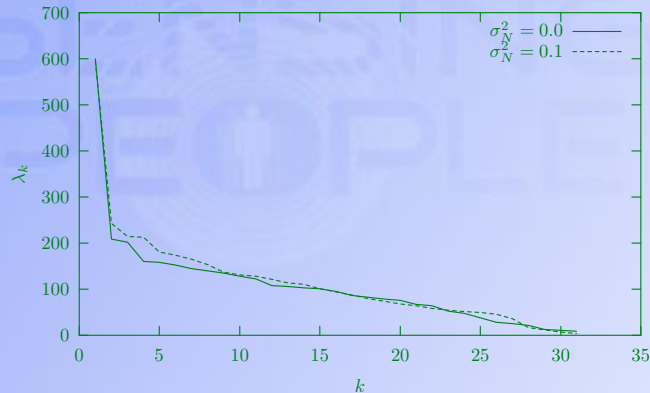
- Signaleigenvektoren besitzen große Eigenwerte \rightarrow Quellenanzahl aus dem Vektor der Eigenwerte bestimmbar.





Bestimmung der Quellenanzahl

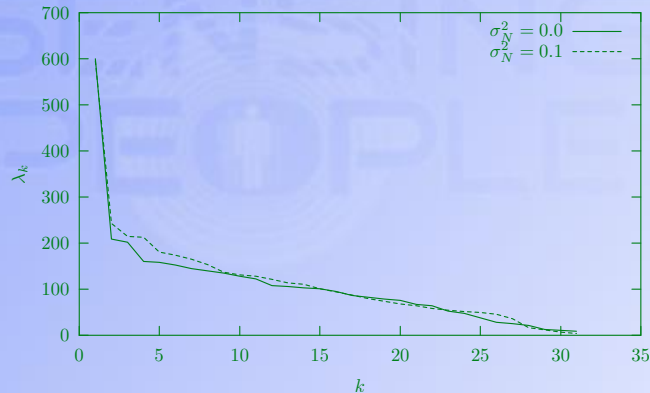
- Signaleigenvektoren besitzen große Eigenwerte \rightarrow Quellenanzahl aus dem Vektor der Eigenwerte bestimmbar.





Bestimmung der Quellenanzahl

- Signaleigenvektoren besitzen große Eigenwerte \rightarrow Quellenanzahl aus dem Vektor der Eigenwerte bestimmbar.



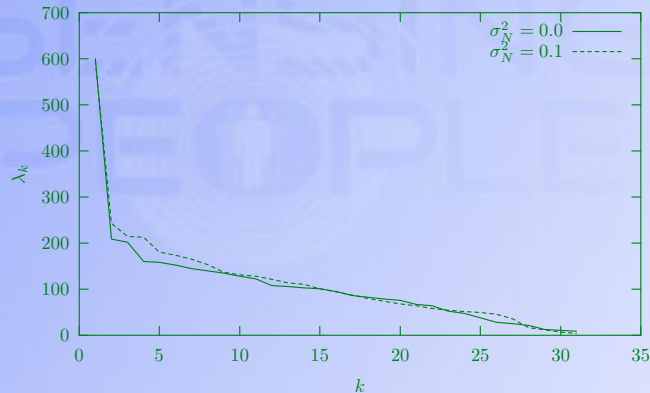
- Anzahl der „großen“ Eigenwerte $\hat{=}$ Quellenanzahl.





Bestimmung der Quellenanzahl

- Signaleigenvektoren besitzen große Eigenwerte \rightarrow Quellenanzahl aus dem Vektor der Eigenwerte bestimmbar.



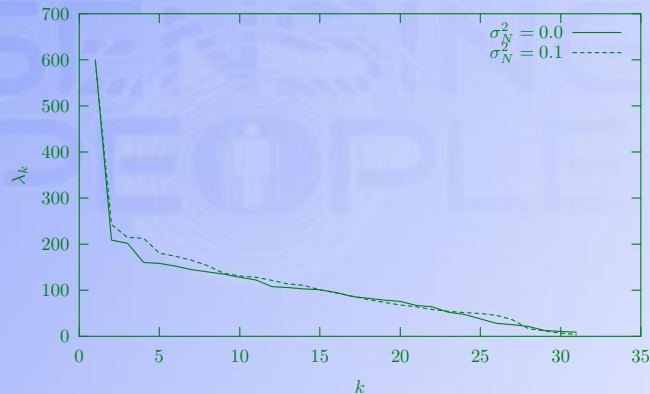
- Anzahl der „großen“ Eigenwerte $\hat{=}$ Quellenanzahl.
 - Schwellwertbasierende Separation





Bestimmung der Quellenanzahl

- Signaleigenvektoren besitzen große Eigenwerte \rightarrow Quellenanzahl aus dem Vektor der Eigenwerte bestimmbar.



- Anzahl der „großen“ Eigenwerte $\hat{=}$ Quellenanzahl.
 - Schwellwertbasierende Separation
 - Wahrscheinlichkeitsmodellierung



Root-MUSIC



14/19

SENSING
PEOPLE





Root-MUSIC

- MUSIC: Quellenpositionen entsprechen den Minima des Nennerters von $P(\Theta)$.





Root-MUSIC

- MUSIC: Quellenpositionen entsprechen den Minima des Nennerterms von $P(\Theta)$.
- Vergleichbar: Suche nach den Sperrbereichen eines digitalen Filters
 \Rightarrow Minima von $|H(j\Omega)|$.

(6)

(7)

(8)





Root-MUSIC

- MUSIC: Quellenpositionen entsprechen den Minima des Nennerterms von $P(\Theta)$.
- Vergleichbar: Suche nach den Sperrbereichen eines digitalen Filters \Rightarrow Minima von $|H(j\Omega)|$.

$$H(jk\Delta\Omega) \Rightarrow H(z) \quad (6)$$

(7)

(8)





Root-MUSIC

- MUSIC: Quellenpositionen entsprechen den Minima des Nennerterms von $P(\Theta)$.
- Vergleichbar: Suche nach den Sperrbereichen eines digitalen Filters \Rightarrow Minima von $|H(j\Omega)|$.

$$H(jk\Delta\Omega) \Rightarrow H(z) \quad (6)$$

in P-N-Form (nur Nullstellen)

(7)

(8)





Root-MUSIC

- MUSIC: Quellenpositionen entsprechen den Minima des Nennerterms von $P(\Theta)$.
- Vergleichbar: Suche nach den Sperrbereichen eines digitalen Filters \Rightarrow Minima von $|H(j\Omega)|$.

$$H(jk\Delta\Omega) \Rightarrow H(z) \quad (6)$$

in P-N-Form (nur Nullstellen)

$$|H(z)| = \prod_{q=1}^Q |z - z_{0,q}| \quad (7)$$

$$(8)$$





Root-MUSIC

- MUSIC: Quellenpositionen entsprechen den Minima des Nennerterms von $P(\Theta)$.
- Vergleichbar: Suche nach den Sperrbereichen eines digitalen Filters \Rightarrow Minima von $|H(j\Omega)|$.

$$H(jk\Delta\Omega) \Rightarrow H(z) \quad (6)$$

in P-N-Form (nur Nullstellen)

$$|H(z)| = \prod_{q=1}^Q |z - z_{0,q}| \quad (7)$$

$$|z - z_{0,q}| \hat{=} \text{Abstand Nullstellen} \leftrightarrow z \quad (8)$$



Root-MUSIC II

- Minima dort, wo die Nullstellen nahe der „Bahn“ von z (EK!) liegen.





Root-MUSIC II

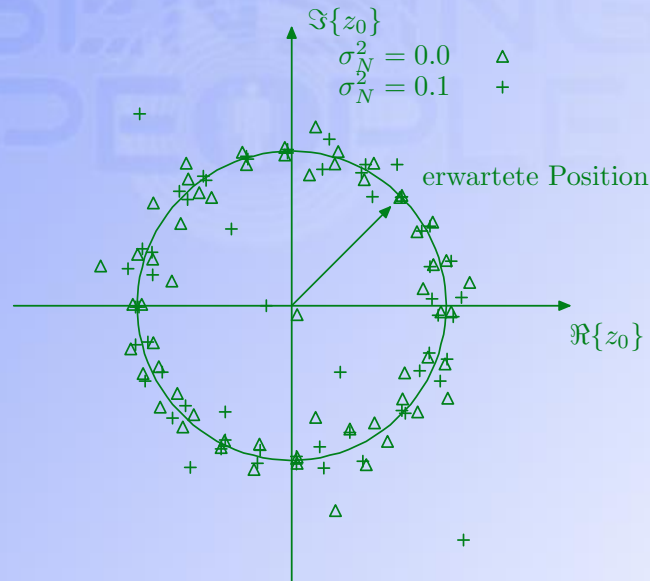
- Minima dort, wo die Nullstellen nahe der „Bahn“ von z (EK!) liegen.
- Root-MUSIC: Substitution $e^{j1\frac{2\pi}{SL}\Delta l_q}$ durch z in $P(\Theta)$.





Root-MUSIC II

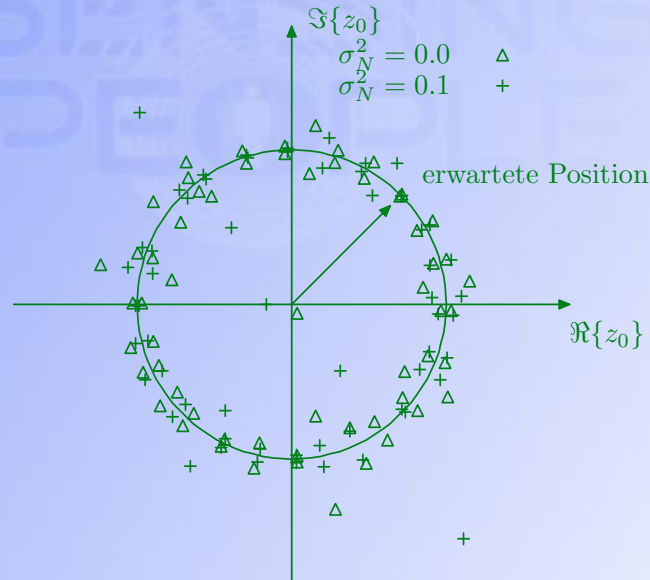
- Minima dort, wo die Nullstellen nahe der „Bahn“ von z (EK!) liegen.
- Root-MUSIC: Substitution $e^{j1\frac{2\pi}{SL}\Delta l_q}$ durch z in $P(\Theta)$.





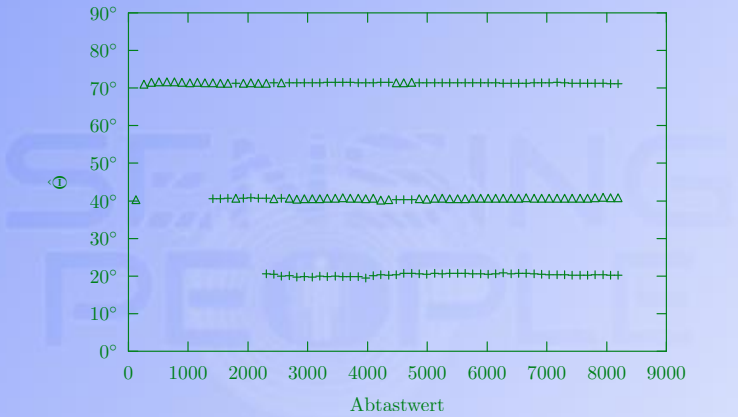
Root-MUSIC II

- Minima dort, wo die Nullstellen nahe der „Bahn“ von z (EK!) liegen.
- Root-MUSIC: Substitution $e^{j1\frac{2\pi}{SL}\Delta l_q}$ durch z in $P(\Theta)$.



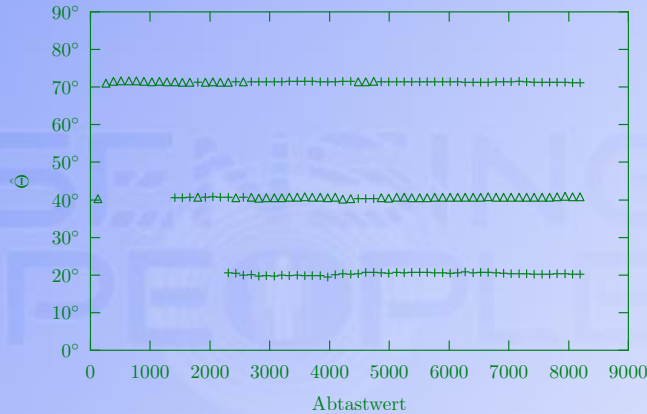


Ergebnisse für ideale Signale





Ergebnisse für ideale Signale

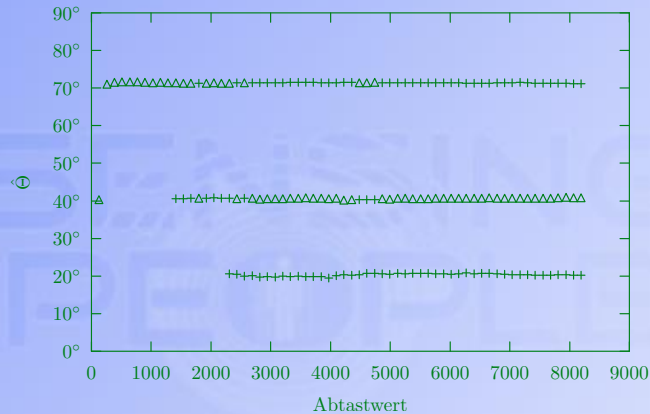


- Ergebnisse bei idealen Bedingungen.





Ergebnisse für ideale Signale

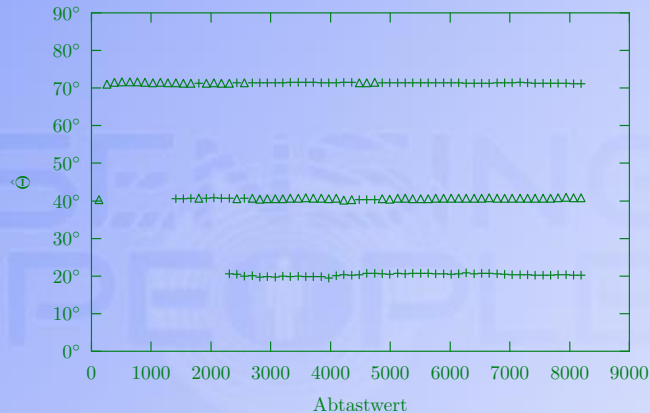


- Ergebnisse bei idealen Bedingungen.
 - 3 simulierte Rauschquellen (dekorrelierte Signale!)





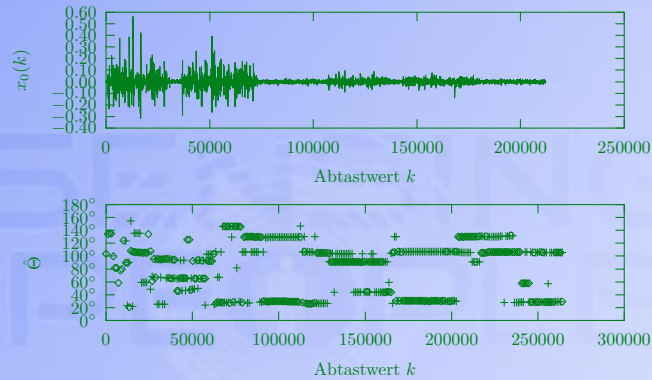
Ergebnisse für ideale Signale



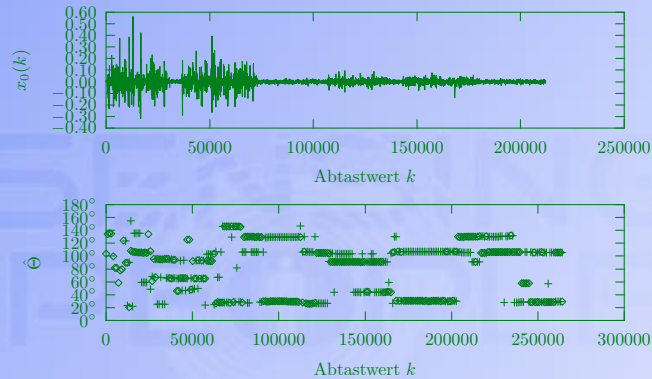
- Ergebnisse bei idealen Bedingungen.
 - 3 simulierte Rauschquellen (dekorrelierte Signale!)
 - Störung durch additives Rauschen, $SNR = 10$ dB.



Ergebnisse für reale Signale



Ergebnisse für reale Signale

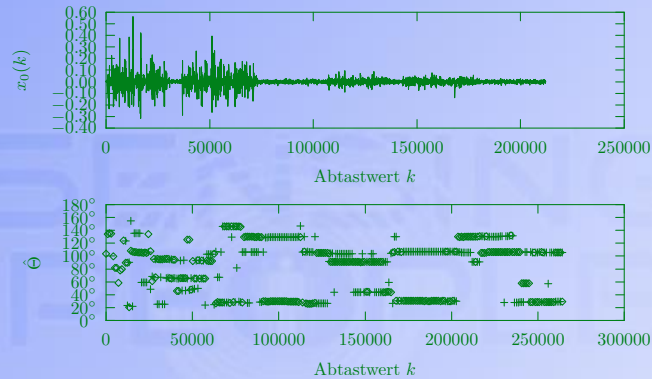


- Ergebnisse für reale Signale.





Ergebnisse für reale Signale

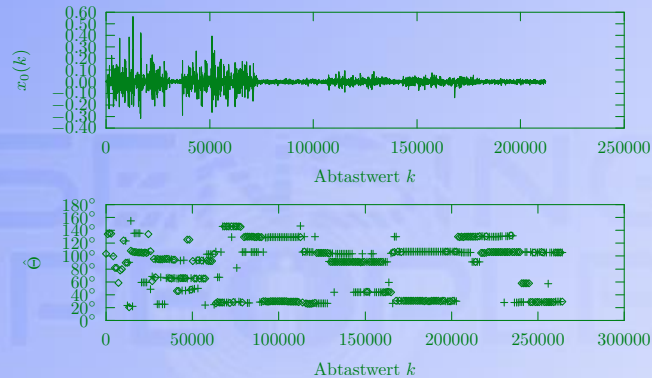


- Ergebnisse für reale Signale.
 - 4 Sprecher, äquidistant auf einem Halbkreis angeordnet.





Ergebnisse für reale Signale



- Ergebnisse für reale Signale.
 - 4 Sprecher, äquidistant auf einem Halbkreis angeordnet.
 - Büroumgebung.



Zusammenfassung

+ Root-MUSIC kann Anzahl und Position von Sprechern erfassen.





Zusammenfassung

- + Root-MUSIC kann Anzahl und Position von Sprechern erfassen.
- ± Für reale Signale ist eine weitere Auswertung der Peilungen notwendig.





Zusammenfassung

- + Root-MUSIC kann Anzahl und Position von Sprechern erfassen.
- ± Für reale Signale ist eine weitere Auswertung der Peilungen notwendig.
- Root-MUSIC ist sehr rechenzeitaufwendig.





Zusammenfassung

- + Root-MUSIC kann Anzahl und Position von Sprechern erfassen.
- ± Für reale Signale ist eine weitere Auswertung der Peilungen notwendig.
- Root-MUSIC ist sehr rechenzeitaufwendig.
 - „Hauptkostenpunkt“ ist die Berechnung der Nullstellen eines komplexen Polynoms.





Zusammenfassung

- + Root-MUSIC kann Anzahl und Position von Sprechern erfassen.
- ± Für reale Signale ist eine weitere Auswertung der Peilungen notwendig.
- Root-MUSIC ist sehr rechenzeitaufwendig.
 - „Hauptkostenpunkt“ ist die Berechnung der Nullstellen eines komplexen Polynoms.
 - Dieses Polynom besitzt eine Größenordnung von $10^2 \dots 10^4$.





Zusammenfassung

- + Root-MUSIC kann Anzahl und Position von Sprechern erfassen.
- ± Für reale Signale ist eine weitere Auswertung der Peilungen notwendig.
- Root-MUSIC ist sehr rechenzeitaufwendig.
 - „Hauptkostenpunkt“ ist die Berechnung der Nullstellen eines komplexen Polynoms.
 - Dieses Polynom besitzt eine Größenordnung von $10^2 \dots 10^4$.
 - Hauptansatzpunkt für Verbesserung der Laufzeiteffizienz.





Zusammenfassung

- + Root-MUSIC kann Anzahl und Position von Sprechern erfassen.
- ± Für reale Signale ist eine weitere Auswertung der Peilungen notwendig.
- Root-MUSIC ist sehr rechenzeitaufwendig.
 - „Hauptkostenpunkt“ ist die Berechnung der Nullstellen eines komplexen Polynoms.
 - Dieses Polynom besitzt eine Größenordnung von $10^2 \dots 10^4$.
 - Hauptansatzpunkt für Verbesserung der Laufzeiteffizienz.
- Problem: Algorithmus erfordert Eigenwertzerlegungen für komplexe Matrizen, die von sehr wenigen Bibliotheken beherrscht werden.

